

## ОБРАЗОВАНИЕ СВЕРХРЕШЕТОК ПРИ ФАЗОВЫХ ПРЕВРАЩЕНИЯХ В TiGaSe<sub>2</sub>

Р.М. СУЛТАНОВ, Ф.И. АЛИЕВ, Р.Б. ШАФИЗАДЕ, Э.Ш. АЛЕКПЕРОВ

Институт Физики Академии Наук Азербайджана,  
370143, г.Баку, пр. Г.Джавида, 33

Д.И. ИСМАИЛОВ, М.Ф. АЛИЕВА,

Азербайджанский Государственный Педагогический Университет им. Н.Туси,  
370000, Баку, ул. Уз. Гаджибекова 34

Электронографическим методом исследованы условия формирования пленок TiGaSe<sub>2</sub> толщиной порядка 300 нм на поверхности кристаллов NaCl, KCl и аморфного цеолита. В зависимости от температуры подложек установлены возможности получения пленок TiGaSe<sub>2</sub> в аморфном, поликристаллическом и в монокристаллическом состояниях. Показано, что при температуре подложек NaCl=370°C образуется сверхструктурная фаза состава TiGaSe<sub>2</sub>.

В системе A<sup>III</sup>-B<sup>VI</sup>-C<sub>2</sub><sup>VII</sup> образуется ряд соединений: TlInS<sub>2</sub>, TlInSe<sub>2</sub>, TlInTe<sub>2</sub>, TiGaS<sub>2</sub>, TiGaSe<sub>2</sub>, TiGaTe<sub>2</sub> [1].

Имеется большое количество работ, посвященных различным свойствам тройных соединений указанной группы, на которых разработаны эффективные фоточувствительные полупроводниковые материалы, нашедшие применение в качестве чувствительных элементов фотодатчиков, приемников оптического излучения, тензорезисторов и т.д. Из вышеуказанных систем исследованы: взаимодействие компонентов, структуры ближнего порядка образующихся фаз, процесс кристаллизации в тонких пленках Tl-In-Se [2-4]. В [5] сообщается о синтезе и изучении структуры соединения TiGaSe<sub>2</sub>, являющегося наиболее интересным из них. Структура его была определена рентгенографически и показано, что она изоструктурна с TiSe<sub>2</sub> и образует отдельный структурный тип пространственной группы I4/mcm. Параметры тетрагональной решетки TiGaSe<sub>2</sub> таковы:  $a=8,053$ ,  $c=6,417$  нм, число молекул в элементарной ячейке  $z=4$ ,  $[v=416,2 \text{ нм}^3]$ . Приведенные в последующей работе [6], опубликованной практически одновременно с [5], результаты не согласуются друг с другом. Согласно [6] TiGaSe<sub>2</sub> обладает моноклинной сингонией с параметрами кристаллической решетки  $a=10,772$ ,  $b=10,771$ ,  $c=15,636$  нм,  $\beta=100,6^\circ$ . Фаза с тетрагональной решеткой вообще не зафиксирована. Это обстоятельство делает дискуссионным вопрос о возможных модификациях указанного соединения.

В предлагаемой работе изучены возможности существования той или иной фазы TiGaSe<sub>2</sub> в зависимости от условий получения пленок и рассмотрена возможность фазовых переходов из одной модификации в другую, а также образования сверхструктур, сопоставимых с той или с другой фазой и не обнаруженных до сих пор в массивных образцах.

На основании проведенных нами исследований установлены следующие особенности формирования пленок состава TiGaSe<sub>2</sub>: пленки TiGaSe<sub>2</sub> толщиной ~300 нм, приготовленные испарением синтезированного вещества на кристаллы NaCl, KCl и на цеолит, находящиеся при комнатной температуре, получаются в аморфном состоянии. На электронограмме (рис.1) наблюдается три диффузных кольца, соответствующие значениям

$S=4\pi z \sin \theta / \lambda = 2,102, 3,445, 4,473 \text{ нм}^{-1}$ . Хранение аморфных пленок в течение 4-х месяцев, при комнатной температуре не приводит к самопроизвольной кристаллизации. Аморфная фаза на поверхности указанных подложек образуется вплоть до температуры подложек  $T_a=140^\circ\text{C}$ . Кристаллизация отделенных от подложки аморфных пленок в колонне электронографа при температуре  $160^\circ\text{C}$  и скорости нагрева 20 град/сек приводит к образованию поликристаллического TiGaSe<sub>2</sub> с известной моноклинной решеткой.

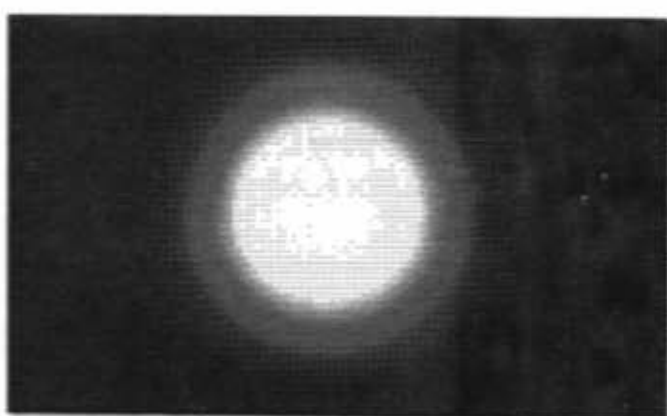


Рис. 1. Электронограмма аморфной пленки TiGaSe<sub>2</sub>.

Испарение TiGaSe<sub>2</sub> на подогретые до  $170^\circ\text{C}$  подложки также приводит к образованию поликристаллической пленки. При увеличении температуры подложек до  $210^\circ\text{C}$ , образуются пленки, электронограммы которых показывают, что наблюдаемые отражения можно разделить на две группы. К первой относятся дифракционные рефлексы, индицирующиеся в моноклинной сингонии с вышеуказанными параметрами элементарных ячеек. Вторая группа отражений (сплошные линии с расположенным на них точками) индицируется на основе тетрагональной модификации [5]. С ростом температуры подложек до  $250^\circ\text{C}$  количество линий моноклинной фазы уменьшается.

Пленки, полученные на подложках NaCl, KCl, находящихся при  $T_a=260^\circ\text{C}$  с последующей выдержкой при дан-

ной температуре более 30 минут, обнаруживают присутствие лишь тетрагональной фазы TiGaSe<sub>2</sub>. Эта фаза сохраняется при комнатной температуре.

Совершенно иная картина наблюдается при получении пленок на подложках NaCl, подогретых выше 290°C. Электронограммы от образующихся при этих условиях пленок свидетельствуют о наличии преимущественной ориентации кристалликов. Однако образовавшаяся текстура несовершенна. Рефлексы на электронограммах размыты, наблюдается раздвоение рефлексов. Распределение интенсивностей в самих пятнах не подчиняется никаким закономерностям. Наконец, при температуре подложки, порядка 330°C, получаются образцы, на электронограммах которых присутствуют рефлексы, расположенные строго по слоевым линиям. По электронограммам от указанных пленок (рис. 2) установлено, что кристаллики TiGaSe<sub>2</sub> образуют текстуру с осью "c", перпендикулярной подложке. Были определены параметры тетрагональной решетки с периодами  $a=8,05$ ,  $c=13,05$  Å. Систематика утасаний приводит к пространственной группе  $I\bar{4}-S_4^2$ , отличной от той исходной фазы, которая относится к группе  $I4/mcm$ . Здесь период "a" остается неизменным, однако для периода "c" получается значение, близкое к величине пространственной диагонали ячейки исходной фазы. Это говорит о появлении некоего упорядочения, происходящего не по всем направлениям ячейки, а только вдоль оси "c".

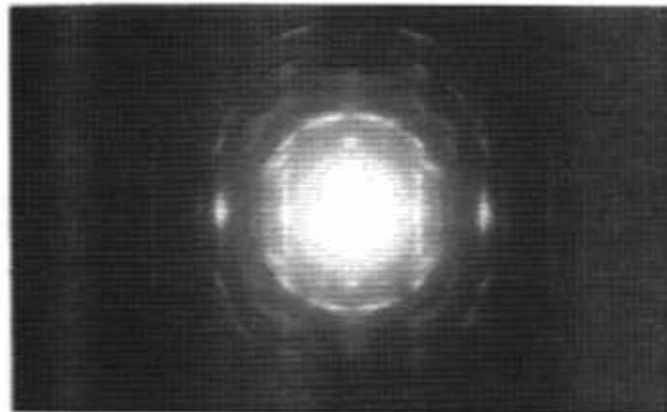


Рис. 2. Электронограмма текстурированных пленок TiGaSe<sub>2</sub>.

Пленки TiGaSe<sub>2</sub>, выращенные на монокристаллических (NaCl) подложках при  $T_x=350-370$  °C были монокристаллические с различной степенью совершенства. По точечным электронограммам были определены периоды решетки (съемка со стандартом NH<sub>4</sub>Cl), которые оказались равными  $a=2a_0=15,98$  Å,  $c=2c_0=11,68$  Å. На рис. 3 представлена электронограмма от монокристаллической пленки сверхструктуры TiGaSe<sub>2</sub>. Период "c" определился по электронограммам, снятых под углом  $\varphi=35^\circ$ . Установлена пространственная группа  $I\bar{4}_1/mad(D_{4h}^{19})$ . Причиной образования совершенных монокристаллических пленок со сверхпериодами является хорошее кристаллографическое соответствие сопрягающихся плоскостей подложки и новой фазы. При epitаксиальном росте TiGaSe<sub>2</sub> на NaCl одна элементарная ячейка сверхструктурной фазы сопрягается с 3 ячейками NaCl, при этом относительное несо-

ответствие сопрягающихся сеток составляет 5%. Монокристаллические пленки TiGaSe<sub>2</sub> ориентируются плоскостью [001], параллельной грани [100] NaCl. По данным [5] ячейка содержит 4 формулярные единицы. Следовательно в ячейке сверхструктурной TiGaSe<sub>2</sub> должно быть 16 формулярных единиц т.е. по 16 атомов Ti, Ga и 32 атома Se.

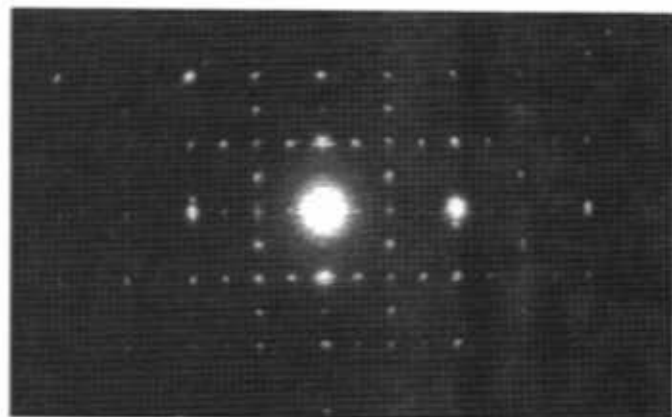


Рис. 3. Электронограмма монокристалла TiGaSe<sub>2</sub>.

Из приведенных результатов можно сделать вывод, что моноклинная TiGaSe<sub>2</sub> является метастабильной фазой, и в результате бездиффузионных фазовых переходов в конечном итоге должна образоваться термодинамически более устойчивая тетрагональная фаза TiGaSe<sub>2</sub>. Для интерпретации рентгеновских данных нами предлагается следующая модель. Структура TiGaSe<sub>2</sub> слоистая и представляет собой чередующиеся пакеты, составленные из двух противоположных больших тетраэдрических групп состава [Ga<sub>4</sub>S<sub>10</sub>], соединенных между собой ван-дер-ваальсовыми силами [5,6]. Расстояния между пакетами 3 Å. Можно полагать, что при наличии такой слабой связи во время термической обработки, испытывая деформацию в динамическом режиме, моноклинная слоистая структура TiGaSe<sub>2</sub> распадается на отдельные структурные фрагменты, которые выстраиваются в цепочечную тетрагональную структуру типа TiSe. Таким образом, показано, что фазовое превращение, связанное с перестройкой слоев в TiGaSe<sub>2</sub>, приводит к образованию ее тетрагональной модификации. Подобные процессы образования тетрагональных фаз наблюдались при исследовании фазовых превращений в тонких пленках халькогенидов IV подгруппы периодической системы. В [7] было показано, что тетрагональная модификация является промежуточным образованием и проявляется вследствие обогащения (объединения) объекта одним из компонентов. Возможно, что подобные процессы реализуются и для рассматриваемой нами системы. Подчеркнем, что указанная тетрагональная модификация TiGaSe<sub>2</sub> никогда не наблюдалась при кристаллизации аморфных пленок, полученных испарением синтезированного соединения. Тетрагональная модификация TiGaSe<sub>2</sub> возникает лишь в результате перекристаллизации моноклинной модификации. Отличие периодов обнаруженных сверхрешеток, (в первом случае изменение периода "a", а во втором и "a" и "c") может быть связано с различной степенью упорядоченности ато-

мов и вакансий селена в тетрагональной решетке, претерпевающей деформацию. При упорядочении положения атомов селена в исходной структуре становятся дефектными, и так как основная тетрагональная решетка является

упорядоченной, то сверхструктурная фаза образуется в результате упорядочения дефектных позиций атомов селена.

- [1] G.D. Guseinov, A.M. Ramazanzade, E.M. Kerimova, M.Z. Ismailov. Phys. Status Solidi, 1967, v.22, № 2, k117-k122.
- [2] Д.И. Исмаилов, Ф.И. Алиев, Р.Б. Шафизаде. Докл. АН Азерб. ССР, 1989, т.45, № 11-12, с.27-29.
- [3] Д.И. Исмаилов, Ф.И. Алиев, Р.М. Султанов, Р.Б. Шафизаде. Поверхность, 1991, № 5, с.113-116.
- [4] D.I. Ismailov, R.M. Sultanov, F.I. Aliyev, R.B. Shafizade. Thin Solid Films, 1991, № 205, p.1-5.
- [5] K.Z. Range, G. Mahlberg, S. Obenland. Z. Naturf., 1977, 32B, s.1354-1355.
- [6] D. Müller. Z. für anorg. und Allgem. chemie, 1978, B438, № 1, s.258-272.
- [7] Р.Б. Шафизаде. Фазообразование и кинетика фазовых превращений в тонких пленках  $A^I \cdot B^{VI}$ . Баку, Элм, 1983, с.168.

D.I. İsmayılov, M.F. Əliyeva, R.M. Sultanov, F.I. Əliyev, R.B. Şəfizadə, E.Ş. Əlakbarov

## FAZA KEÇİDLƏRİ ZAMANI İFRAT QURULUŞLU TiGaSe<sub>2</sub> TƏBƏQƏLƏRİNİN ƏMƏLƏ GƏLMƏSİ

NaCl, KCl ve amorf selluloz üzerine çökdürilmiş 300 E tərkibli TiGaSe<sub>2</sub> nazik təbəqələri elektronografiq üsul ilə tədqiq edilmişdir. Məsyyan olunmuşdur ki, alıqların temperaturundan asılı olaraq amorf, polikristal ve monokristal təbəqələrinin alınması mümkünündür. Gösterilmişdir ki, 370°C-də NaCl monokristal üzərində epitaksial böyülmə zamanı TiGaSe<sub>2</sub>-nin ifrat quruluşlu fazası emələ gelir.

D.I. Ismailov, M.F. Alieva, R.M. Sultanov, F.I. Aliev, R.B. Shafizade, E.Sh. Alekperov

## FORMATION OF SUPERLATTICES AT PHASE TRANSFORMATIONS IN TiGaSe<sub>2</sub>

The conditions of the film formations of TiGaSe<sub>2</sub> with the thickness 300 E on the surface of crystals NaCl and KCl and the amorphous celluloid have been investigated by the electronographic method. The possibility of films production of TiGaSe<sub>2</sub> in amorphous, polycrystalline and monocrystalline states in dependence on the substrate temperature are established. It is shown, that the superstructural phase of TiGaSe<sub>2</sub> forms at the substrate temperature 370°C.

Дата поступления 26.06.96

Редактор: Ф.М. Гашимзаде